

## کاربرد مقاومت الکتریکی برای بررسی پایایی بتن\*

فرامرز مودی<sup>(۱)</sup>مهندی مهدی‌خانی<sup>(۲)</sup>علی اکبر رمضانیان‌پور<sup>(۳)</sup>امیررضا پیلوار<sup>(۴)</sup>

**چکیده** یکی از عوامل اصلی خرابی زودرس در سازه‌های بتن مسلح، خوردگی میلگردها می‌باشد و مهم‌ترین عامل در افزایش سرعت این تخریب نفوذپذیری بتن به‌شمار می‌رود. از سوی دیگر، روش‌های مختلفی برای ارزیابی نفوذپذیری بتن وجود دارد. با تعیین رابطه‌ای بین این روش‌ها می‌توان مهندسان را در انتخاب روش مناسب ارزیابی و درک بهتر مکانیزم آن‌ها یاری رساند. مقاومت الکتریکی بتن شاخصی مناسب برای ارزیابی نفوذپذیری بتن و مقاومت آن در مقابل نفوذ یون کلراید می‌باشد. این روش کاملاً غیرمخرب است و سادگی، سرعت و اقتصادی بودن آن بر کاربرد این روش می‌افزاید. در این تحقیق، به‌منظور یافتن رابطه‌ای مناسب میان مقاومت الکتریکی و نفوذپذیری بتن (مانند نفوذ آب و نفوذ یون کلراید)، آزمایش‌های گوناگونی بر روی ۷۲ طرح اختلاط بتن، انجام شده و روابط میان آن‌ها بیان گردیده است. علاوه بر آن، عوامل تأثیرگذار بر نتایج آزمایش‌ها بیان شده و در مورد محدودیت‌های موجود در برقراری ارتباط بین آن‌ها بحث شده است. نتایج نشان‌دهنده‌ی وجود رابطه‌ی توانی مناسبی میان مقاومت الکتریکی بتن و نفوذپذیری آن می‌باشد. در نتیجه، از نتایج این تحقیق می‌توان دریافت که با دقت مناسبی می‌توان از آزمایش مقاومت الکتریکی به‌منظور تعیین میزان نفوذپذیری نمونه‌های بتنی استفاده نمود.

**واژه‌های کلیدی** مقاومت الکتریکی، نفوذ پذیری، خوردگی، ریزاساختار، دوام، نفوذ تسریع شده یون کلراید.

## Using Resistivity to Evaluate Durability of Concrete

A.R. Pilvar      A.A. Ramezanianpour      M. Mahdikhani      F. Moodi

**Abstract** One of the main factors of premature deterioration of concrete structures is the corrosion of reinforcements. Chloride penetration of concrete is one of the main reasons of this phenomenon. Therefore, to have durable structure, it is necessary to have concretes with low permeability. There are various methods to evaluate permeability of concrete. Finding a relationship between them can be useful for understanding the mechanism of corrosion. Concrete resistivity test is a suitable indicator for concrete penetration and chloride ion permeability. It is a non-destructive, simple, rapid and cheap method that can also be used in site. In this study, various permeability and resistivity tests were carried out on different types of concrete to find a relationship between them. In addition, the main factors affected the resistivity are discussed and the major constraints of relation between resistivity and permeability of concrete are illustrated. Finally, a new method is recommended to eliminate these problems.

**Keywords** resistivity, permeability, corrosion, microstructure, durability, RCPT

★تاریخ دریافت مقاله ۹۰/۸/۱۷ و تاریخ پذیرش آن ۹۱/۸/۱۰ می‌باشد.

(۱) نویسنده‌ی مسؤول، دانشجوی دکتری، دانشکده مهندسی عمران و محیط زیست، دانشگاه صنعتی امیرکبیر.

(۲) استاد دانشکده مهندسی عمران و محیط زیست، مرکز تحقیقات تکنولوژی و دوام بتن، دانشگاه صنعتی امیرکبیر.

(۳) دانشجوی دکتری، دانشکده مهندسی عمران و محیط زیست، مرکز تحقیقات تکنولوژی و دوام بتن، دانشگاه صنعتی امیرکبیر.

(۴) استادیار دانشکده مهندسی عمران و محیط زیست، مرکز تحقیقات تکنولوژی و دوام بتن، دانشگاه صنعتی امیرکبیر.

مقاومت بتن در مقابل نفوذ یون کلراید را اندازه‌گیری نمایند. در اواخر دهه‌ی ۱۹۷۰، Whiting[6, 7] روشی به این منظور معرفی کرد که با نام روش نفوذ تسریع شده‌ی یون کلراید (RCPT) شناخته شده است. اما این روش در واقع رسانایی نمونه‌ها را اندازه‌گیری می‌کند. این روش توسط AASHTO در سال ۱۹۸۳ و ASTM در سال ۱۹۹۱ به صورت استاندارد آورده شده است.

این روش به عنوان شاخصی الکتریکی برای ارزیابی بتن در مقابل نفوذ یون کلراید، میزان جریان عبوری از نمونه‌ها را در طول مدت ۶ ساعت وقتی اختلاف پتانسیل ۶۰ ولت برقرار باشد اندازه‌گیری می‌کند[8]. میزان جریان اندازه‌گیری شده در مقابل زمان، با هم جمع می‌شود و میزان کل بار عبوری در واحد کلمب به دست می‌آید. پنج سطح برای ارزیابی بتن براساس میزان بار عبوری مشخص شده است: زیاد، متوسط، کم، خیلی کم و قابل چشم پوشی.

هرچند روش RCPT به دلیل آسانی آن بسیار مورد استفاده قرار گرفته است، اما در مجتمع علمی انتقاداتی نیز به آن وارد شده است[9]. RCPT روشنی شاخص است که در آن شرایط پایداری وجود ندارد. بدان معنی که برای دستیابی به انتشار پایدار، می‌بایست شرایطی ایجاد شده باشد که یون‌های کلراید از یک سوی نمونه به سوی دیگر آن رسیده باشند که برای حصول این شرط، نیاز به مدت زمان طولانی است. لیکن در روش RCPT اندازه‌گیری از همان لحظه شروع انجام آزمایش آغاز می‌گردد. مشکل دیگری که در روش RCPT وجود دارد، حرارت به وجود آمده در طول انجام آزمایش می‌باشد[10]. همچنین تغییراتی که در مشخصات مایع منفذی زمانی که از مواد پوزولانی استفاده می‌شود، به وجود می‌آید باعث عدم اطمینان به نتایج RCPT می‌شود. به علاوه به دلیل ولتاژ نسبتاً زیاد ۶۰ ولت، جریان برقرار شده در حالت پایداری قرار نمی‌گیرد[11]. در نتیجه ممکن است نتایج به دست آمده به درستی بیانگر انتشار یون کلراید نباشد.

## مقدمه

یکی از عوامل خرابی زودرس سازه‌های بتن آرم، خوردگی فولادهای آن می‌باشد و این مسأله از مهم‌ترین مشکلاتی است که صنعت ساخت و ساز، در رابطه با دوام، با آن مواجه است [1]. معمولاً خوردگی آرماتورها، ناشی از بین رفتن لایه‌ی محافظ (Passive) روی آرماتورها به دلیل نفوذ یون کلراید و یا کربناتاسیون و تشکیل میکروپیل‌های خوردگی می‌باشد. یون‌های کلراید محلول در آب ناشی از استفاده از نمک‌های یخ‌زدا، یون‌های موجود درون خاک، آب دریاهای و آب‌های زیرزمینی می‌توانند به بتن نفوذ کنند و به سطح آرماتور برسند. مکانیزم اصلی انتقال یون‌های کلراید در سطح بتن، مخصوصاً وقتی این سطح غیر اشباع باشد، جذب موینه می‌باشد و تجمع این یون‌ها در لایه‌های سطحی بتن باعث انتقال یون‌ها به صورت انتشار به لایه‌های زیرین می‌شود [2]. بنابراین انتشار، مکانیزم اصلی جابه‌جایی یون‌ها در لایه‌های زیرین بتن می‌باشد. نیروی رانش در انتشار یون‌های کلراید، اختلاف غلظت بین یون‌ها در قسمت‌های مختلف بتن می‌باشد [3]. روش‌های مختلفی برای ارزیابی نفوذ یون کلراید به بتن وجود دارد. در روش‌هایی که فقط بر پایه‌ی انتشار می‌باشند، محدودیت‌هایی وجود دارد. از جمله این محدودیت‌ها، زمان طولانی مورد نیاز برای رسیدن انتشار یون‌های کلراید به حالت پایدار می‌باشد. بنابراین، این روش‌ها برای ارزیابی مقاومت بتن در مقابل نفوذ یون کلراید، عملی نمی‌باشند [4]. در نتیجه، محققان به دنبال پیدا کردن روش‌های تسریع یافته هستند. به عنوان مثال عمل Streicher و Alexander [5]، بیان شده است به وسیله‌ی کاهش ضخامت نمونه‌ها و همچنین افزایش غلظت یون‌های کلراید در یک طرف نمونه، تسریع یافته است. از دهه‌ی ۱۹۷۰ سازمان‌ها و متخصصان سعی کرده‌اند که روش سریع، ارزان و قابل اعتمادی پیشنهاد دهند تا بتوانند میزان

هدف از این تحقیق بررسی این موضوع است که آیا می‌توان مقاومت الکتریکی بتن را به عنوان جایگزینی برای روش‌های RCPT و عمق نفوذ آب در نظر گرفت و آن را به عنوان شاخصی برای مقاومت بتن در مقابل نفوذ یون کلراید شناخت؟

### برنامه‌ی آزمایشگاهی

**مواد و طرح اختلاط.** در این تحقیق در مجموع ۷۲ طرح اختلاط ساخته شد و مورد بررسی قرار گرفت. خلاصه طرح‌های اختلاط و همچنین سنین انجام هر آزمایش در جدول (۱) آورده شده است. برای ساخت نمونه‌های بتنه از سیمان تیپ ۱ استفاده شده و مواد جایگزین سیمان مورد استفاده شامل ۲ پوزولان طبیعی توف (Tuff) و پومیس (Pumice) و همچنین پوزولان‌های خاکستر پوسته‌ی برنج (RHA)، ۳ نوع متاکائولن (Metakaolin) و دوده سیلیس (SF) به علاوه پودر سنگ آهک می‌باشد. در جدول (۲) ترکیبات شیمیایی این مواد آورده شده است. برای تمامی طرح‌ها از سنگدانه‌ی درشت شکسته شده با حداقل قطر ۱۹ میلی‌متر و سنگدانه‌ی ریز طبیعی به عنوان ماسه استفاده شده است. برای رسیدن به کارایی مطلوب از فوق روان‌کننده در حد نیاز استفاده شده است. برای ساخت و عمل آوری نمونه‌های بتنه از آب شرب شهر تهران استفاده شده است. قابل ذکر است که اندازه‌گیری تمامی نسبت‌ها وزنی بوده است.

**نحوه‌ی انجام آزمایش‌ها و آماده‌سازی نمونه‌ها.** برای خروج حباب‌های هوا و تراکم بتن، از میز و پیره استفاده شده است. بعد از بتنه ریزی در قالب‌ها، برای ۲۴ ساعت آن‌ها را توسط حوله‌ی نمدار پوشانده و بعد از آن نمونه‌ها را از قالب‌ها خارج کرده و آن‌ها را درون آب حاوی آهک قرار داده‌ایم تا ضمن عمل آوری از نشت  $\text{Ca(OH)}_2$  از بتن به خارج جلوگیری شود.

از طرفی دیگر، مقاومت الکتریکی بتن یکی از خواص ذاتی مستقل بتن می‌باشد که به میزان رطوبت بتن و ترکیبات آن بستگی دارد [12]. از تحقیقات تئوری و کارهای آزمایشگاهی انجام شده مشخص است که بین مقاومت الکتریکی بتن و نفوذ یون‌های کلراید رابطه‌ای وجود دارد [13-15]. در حالت کلی، ضریب نفوذ یون کلراید به‌طور عکس با مقاومت الکتریکی بتن رابطه دارد. در یک ساختار مشخص، قسمت‌های نفوذپذیرتر دارای مقاومت الکتریکی نسبی کمتر و نفوذ یون کلراید بالاتر می‌باشد. همچنین مقاومت الکتریکی با میزان خوردگی آرماتور بعد از شروع خوردگی در ارتباط است. انتقال یون‌ها بین آند و کاتد در سطح آرماتور یکی از عوامل کنترلی میزان خوردگی می‌باشد [12].

یکی از بهترین روش‌ها برای اندازه‌گیری مقاومت الکتریکی بتن، استفاده از دستگاه چهار الکترودی Wenner می‌باشد. این روش غیر مخرب، سریع و به سادگی قابل استفاده می‌باشد و به همین دلیل این روش را می‌توان شاخصی برای ارزیابی بتن از لحاظ نفوذ یون کلراید در نظر گرفت. این وسیله دارای چهار الکترود با فواصل مساوی است که با سطح بتن در تماس قرار می‌گیرد [16].

عامل اصلی دیگری که در دوام بتن نقش دارد، نفوذپذیری آن می‌باشد. بتن با نفوذپذیری پایین در مقابل حملات شیمیایی مقاومت بهتری نشان می‌دهد. هنگامی که آب به داخل بتن نفوذ می‌کند مقداری نمک‌های محلول را به همراه خود به داخل بتن حمل می‌کند و وقتی این نمک‌ها به سطح آرماتور برسند، باعث خوردگی می‌شوند. در حالت کلی نفوذپذیری کمتر باعث دوام بیشتر بتن می‌باشد. روش‌های مختلفی مانند آزمایش نفوذ آب، برای ارزیابی نفوذپذیری بتن مورد استفاده قرار می‌گیرند و تحقیقات بسیاری درباره‌ی آن انجام شده و اعتبار این روش‌ها تأیید شده است [17,18].

جدول ۱ طرح‌های اختلاط نمونه‌های بتون

ردیف	عنوان طرح	عیار مواد سیمانی	عیار مواد سیمانی	w/c	مواد جایگزین سیمان		مقاومت فشاری		ستین انجام آزمایش‌ها		
					نوع	درصد جایگزینی	روزه ۷	روزه ۲۸	SR	RCPT	W.P.
۱	C35/37L0	۳۵۰	۰.۳۷	Limestone	.	۴۷/۱۶	۵۶/۷۸	۲۸۹.۱۸.۲۷.	۲۸۹.۱۸.۲۷.	۲۸۹.۱۸.۲۷.	۲۸۹.۱۸.۲۷.
۲	C35/37L5	۳۵۰	۰.۳۷	Limestone	۵	۴۴/۷	۵۷/۷۸	۲۸۹.۱۸.۲۷.	۲۸۹.۱۸.۲۷.	۲۸۹.۱۸.۲۷.	۲۸۹.۱۸.۲۷.
۳	C35/37L10	۳۵۰	۰.۳۷	Limestone	۱۰	۴۸/۲	۵۲/۷۸	۲۸۹.۱۸.۲۷.	۲۸۹.۱۸.۲۷.	۲۸۹.۱۸.۲۷.	۲۸۹.۱۸.۲۷.
۴	C35/37L15	۳۵۰	۰.۳۷	Limestone	۱۵	۴۳/۷۶	۶۹/۵	۲۸۹.۱۸.۲۷.	۲۸۹.۱۸.۲۷.	۲۸۹.۱۸.۲۷.	۲۸۹.۱۸.۲۷.
۵	C35/37L20	۳۵۰	۰.۳۷	Limestone	۲۰	۳۳/۷۷	۴۴/۰۳	۲۸۹.۱۸.۲۷.	۲۸۹.۱۸.۲۷.	۲۸۹.۱۸.۲۷.	۲۸۹.۱۸.۲۷.
۶	C35/45L0	۳۵۰	۰.۴۰	Limestone	.	۳۶/۲۶	۴۲/۹۱	۲۸۹.۱۸.۲۷.	۲۸۹.۱۸.۲۷.	۲۸۹.۱۸.۲۷.	۲۸۹.۱۸.۲۷.
۷	C35/45L5	۳۵۰	۰.۴۰	Limestone	۵	۳۲/۳۶	۴۰/۱۹	۲۸۹.۱۸.۲۷.	۲۸۹.۱۸.۲۷.	۲۸۹.۱۸.۲۷.	۲۸۹.۱۸.۲۷.
۸	C35/45L10	۳۵۰	۰.۴۰	Limestone	۱۰	۳۱/۰	۳۷/۷۸	۲۸۹.۱۸.۲۷.	۲۸۹.۱۸.۲۷.	۲۸۹.۱۸.۲۷.	۲۸۹.۱۸.۲۷.
۹	C35/45L15	۳۵۰	۰.۴۰	Limestone	۱۵	۲۷/۰	۳۷/۴۰	۲۸۹.۱۸.۲۷.	۲۸۹.۱۸.۲۷.	۲۸۹.۱۸.۲۷.	۲۸۹.۱۸.۲۷.
۱۰	C35/45L20	۳۵۰	۰.۴۰	Limestone	۲۰	۲۷/۶۶	۳۲/۹۸	۲۸۹.۱۸.۲۷.	۲۸۹.۱۸.۲۷.	۲۸۹.۱۸.۲۷.	۲۸۹.۱۸.۲۷.
۱۱	C35/55L0	۳۵۰	۰.۱۰۰	Limestone	.	۲۴	۳۳/۱۶	۲۸۹.۱۸.۲۷.	۲۸۹.۱۸.۲۷.	۲۸۹.۱۸.۲۷.	۲۸۹.۱۸.۲۷.
۱۲	C35/55L5	۳۵۰	۰.۱۰۰	Limestone	۵	۲۲/۵۶	۳۲	۲۸۹.۱۸.۲۷.	۲۸۹.۱۸.۲۷.	۲۸۹.۱۸.۲۷.	۲۸۹.۱۸.۲۷.
۱۳	C35/55L10	۳۵۰	۰.۱۰۰	Limestone	۱۰	۲۰/۱۰	۲۹/۳۸	۲۸۹.۱۸.۲۷.	۲۸۹.۱۸.۲۷.	۲۸۹.۱۸.۲۷.	۲۸۹.۱۸.۲۷.
۱۴	C35/55L15	۳۵۰	۰.۱۰۰	Limestone	۱۵	۱۸/۱۲	۲۵/۶۰	۲۸۹.۱۸.۲۷.	۲۸۹.۱۸.۲۷.	۲۸۹.۱۸.۲۷.	۲۸۹.۱۸.۲۷.
۱۵	C35/55L20	۳۵۰	۰.۱۰۰	Limestone	۲۰	۱۸/۷۴	۲۵/۷۰	۲۸۹.۱۸.۲۷.	۲۸۹.۱۸.۲۷.	۲۸۹.۱۸.۲۷.	۲۸۹.۱۸.۲۷.
۱۶	C35/50P0	۳۵۰	۰.۱۰	Pumice	.	۲۹	۴۳/۳	۷۲۸۹.۱۸.	۹.۱۸.	۹.۱۸.	۹.۱۸.
۱۷	C35/50P10	۳۵۰	۰.۱۰	Pumice	۱۰	۳۵/۷	۳۷/۸	۷۲۸۹.۱۸.	۹.۱۸.	۹.۱۸.	۹.۱۸.
۱۸	C35/50P15	۳۵۰	۰.۱۰	Pumice	۱۵	۲۳	۳۹	۷۲۸۹.۱۸.	۹.۱۸.	۹.۱۸.	۹.۱۸.
۱۹	C35/50P20	۳۵۰	۰.۱۰	Pumice	۲۰	۲۵/۷	۳۹/۳	۷۲۸۹.۱۸.	۹.۱۸.	۹.۱۸.	۹.۱۸.
۲۰	C35/50T15	۳۵۰	۰.۱۰	Tuff	۱۰	۴۳/۳	۴۹/۸	۷۲۸۹.۱۸.	۹.۱۸.	۹.۱۸.	۹.۱۸.
۲۱	C35/50T20	۳۵۰	۰.۱۰	Tuff	۲۰	۳۱/۸	۴۵/۵	۷۲۸۹.۱۸.	۹.۱۸.	۹.۱۸.	۹.۱۸.
۲۲	C35/50T25	۳۵۰	۰.۱۰	Tuff	۲۵	۳۴/۰	۵۰/۲	۷۲۸۹.۱۸.	۹.۱۸.	۹.۱۸.	۹.۱۸.
۲۳	C42/45R0	۴۲۰	۰.۴۰	RHA	.	۳۰/۲	۴۰/۳	---	۷۲۸۹.۱۸.	۷۲۸۹.۱۸.	۷۲۸۹.۱۸.
۲۴	C42/45R7	۴۲۰	۰.۴۰	RHA	۷	۳۲/۴	۴۲/۸	---	۷۲۸۹.۱۸.	۷۲۸۹.۱۸.	۷۲۸۹.۱۸.
۲۵	C42/45R10	۴۲۰	۰.۴۰	RHA	۱۰	۳۲/۷	۴۶/۸	---	۷۲۸۹.۱۸.	۷۲۸۹.۱۸.	۷۲۸۹.۱۸.
۲۶	C42/45R15	۴۲۰	۰.۴۰	RHA	۱۵	۳۴/۷	۴۷/۹	---	۷۲۸۹.۱۸.	۷۲۸۹.۱۸.	۷۲۸۹.۱۸.
۲۷	C40/45MS0	۴۰۰	۰.۴۰	NS	.	۳۷/۸	۵۲/۳	۷۲۸۹.۱۸.	۲۸۹.۱۸.	۲۸	۲۸
۲۸	C40/45NS4/5	۴۰۰	۰.۱۰۰	NS	۵/۰	۴۶	۵۷/۸	۷۲۸۹.۱۸.	۲۸۹.۱۸.	۲۸	۲۸
۲۹	C40/45NS7/5	۴۰۰	۰.۱۰۰	NS	۷/۰	۴۸	۷۲	۷۲۸۹.۱۸.	۲۸۹.۱۸.	۲۸	۲۸
۳۰	C40/45MS4/5	۴۰۰	۰.۱۰۰	SF	۶/۰	۴۱/۷	۵۰/۲	۷۲۸۹.۱۸.	۲۸۹.۱۸.	۲۸	۲۸
۳۱	C40/45MS7/5	۴۰۰	۰.۱۰۰	SF	۷/۰	۴۰/۷	۷۱	۷۲۸۹.۱۸.	۲۸۹.۱۸.	۲۸	۲۸
۳۲	C40/45M0	۴۰۰	۰.۱۰۰	Metakaoline	.	۳۵/۷	۶۷/۳۳	۷۲۸۹.۱۸.	۷۲۸۹.۱۸.	۷۲۸۹.۱۸.	۷۲۸۹.۱۸.
۳۳	C40/45Ma5	۴۰۰	۰.۱۰۰	Metakaoline-A	۵	۳۷	۶۹/۶۷	۷۲۸۹.۱۸.	۷۲۸۹.۱۸.	۷۲۸۹.۱۸.	۷۲۸۹.۱۸.
۳۴	C40/45Ma10	۴۰۰	۰.۱۰۰	Metakaoline-A	۱۰	۳۷/۲۷	۵۲	۷۲۸۹.۱۸.	۷۲۸۹.۱۸.	۷۲۸۹.۱۸.	۷۲۸۹.۱۸.
۳۵	C40/45Ma15	۴۰۰	۰.۱۰۰	Metakaoline-A	۱۵	۳۵/۱۳	۵۱/۸۳	۷۲۸۹.۱۸.	۷۲۸۹.۱۸.	۷۲۸۹.۱۸.	۷۲۸۹.۱۸.
۳۶	C40/45Ma20	۴۰۰	۰.۱۰۰	Metakaoline-A	۲۰	۲۷	۵۷/۳۳	۷۲۸۹.۱۸.	۷۲۸۹.۱۸.	۷۲۸۹.۱۸.	۷۲۸۹.۱۸.
۳۷	C40/45Mb5	۴۰۰	۰.۱۰۰	Metakaoline-B	۵	۳۹/۳۳	۵۲/۱۶	۷۲۸۹.۱۸.	---	---	---
۳۸	C40/45Mb10	۴۰۰	۰.۱۰۰	Metakaoline-B	۱۰	۳۳/۷	۵۰	۷۲۸۹.۱۸.	---	---	---
۳۹	C40/45Mb15	۴۰۰	۰.۱۰۰	Metakaoline-B	۱۵	۲۷	۵۷/۶	۷۲۸۹.۱۸.	---	---	---
۴۰	C40/45Mb20	۴۰۰	۰.۱۰۰	Metakaoline-B	۲۰	۲۶/۱۶	۵۳/۶۷	۷۲۸۹.۱۸.	---	---	---
۴۱	C40/45Mc5	۴۰۰	۰.۱۰۰	Metakaoline-C	۵	۳۵/۶	۵۰	۷۲۸۹.۱۸.	۷۲۸۹.۱۸.	۷۲۸۹.۱۸.	۷۲۸۹.۱۸.
۴۲	C40/45Mc10	۴۰۰	۰.۱۰۰	Metakaoline-C	۱۰	۳۲/۸	۴۸/۳۳	۷۲۸۹.۱۸.	۷۲۸۹.۱۸.	۷۲۸۹.۱۸.	۷۲۸۹.۱۸.
۴۳	C40/45Mc15	۴۰۰	۰.۱۰۰	Metakaoline-C	۱۵	۳۲/۳	۴۲	۷۲۸۹.۱۸.	۷۲۸۹.۱۸.	۷۲۸۹.۱۸.	۷۲۸۹.۱۸.
۴۴	C40/45Mc20	۴۰۰	۰.۱۰۰	Metakaoline-C	۲۰	۲۲/۰	۳۹	۷۲۸۹.۱۸.	۷۲۸۹.۱۸.	۷۲۸۹.۱۸.	۷۲۸۹.۱۸.
۴۵	C45/40MS0	۴۰۰	۰.۱۶	SF	.	۴۰/۲	۵۲/۸	۷۲۸۴۲۹.	۷۲۸۴۲۹.	۷۲۸۴۲۹.	۷۲۸۹.
۴۶	SCC45/40MS0	۴۰۰	۰.۱۶	SF	.	۴۷/۸	۵۷/۷	۷۲۸۴۲۹.	۷۲۸۴۲۹.	۷۲۸۴۲۹.	۷۲۸۹.
۴۷	SCC45/40MS7/5	۴۰۰	۰.۱۶	SF	۷/۰	۴۸/۷	۷۰/۹	۷۲۸۴۲۹.	۷۲۸۴۲۹.	۷۲۸۴۲۹.	۷۲۸۹.
۴۸	SCC45/40MS7/5	۴۰۰	۰.۱۶	SF	۷/۰	۵۱/۷	۷۹/۰	۷۲۸۴۲۹.	۷۲۸۴۲۹.	۷۲۸۴۲۹.	۷۲۸۹.
۴۹	SCC45/40P15	۴۰۰	۰.۱۶	Pumice	۱۰	۳۷/۷	۴۷/۵	۷۲۸۴۲۹.	۷۲۸۴۲۹.	۷۲۸۴۲۹.	۷۲۸۹.
۵۰	SCC45/40P15	۵۱۰	۰.۱۶	Pumice	۱۵	۴۸/۲	۵۸/۲	۷۲۸۴۲۹.	۷۲۸۴۲۹.	۷۲۸۴۲۹.	۷۲۸۹.
۵۱	SCC45/40R10	۴۰۰	۰.۱۶	RHA	۱۰	۴۲/۲	۵۰/۹	۷۲۸۴۲۹.	۷۲۸۴۲۹.	۷۲۸۴۲۹.	۷۲۸۹.
۵۲	SCC45/40R10	۴۹۰	۰.۱۶	RHA	۱۵	۴۷/۲	۶۱/۳	۷۲۸۴۲۹.	۷۲۸۴۲۹.	۷۲۸۴۲۹.	۷۲۸۹.
۵۳	C25/45	۲۵۰	۰.۱۶	---	---	۴۹/۷۰	۶۰/۲۵	۷۲۸	۷۲۸	۷۲۸	۷۲۸
۵۴	C25/55	۲۵۰	۰.۱۰۰	---	---	۳۶	۵۷/۰	۷۲۸	۷۲۸	۷۲۸	۷۲۸
۵۵	C25/60	۲۵۰	۰.۱۶	---	---	۲۹	۴۲/۲۵	۷۲۸	۷۲۸	۷۲۸	۷۲۸
۵۶	C30/45	۳۰۰	۰.۱۰۰	---	---	۴۶	۶۱/۹	۷۲۸	۷۲۸	۷۲۸	۷۲۸
۵۷	C30/55	۳۰۰	۰.۱۰۰	---	---	۳۱	۶۷/۱۵	۷۲۸	۷۲۸	۷۲۸	۷۲۸
۵۸	C30/60	۳۰۰	۰.۱۶	---	---	۱۸/۶	۳۵/۲۵	۷۲۸	۷۲۸	۷۲۸	۷۲۸
۵۹	C35/45	۳۵۰	۰.۱۰۰	---	---	۳۶/۰	۵۶	۷۲۸	۷۲۸	۷۲۸	۷۲۸
۶۰	C35/55	۳۵۰	۰.۱۰۰	---	---	۲۳/۷۵	۴۲/۶	۷۲۸	۷۲۸	۷۲۸	۷۲۸
۶۱	C35/60	۳۵۰	۰.۱۶	---	---	۱۷/۲	۳۳/۷۵	۷۲۸	۷۲۸	۷۲۸	۷۲۸
۶۲	C42/45	۴۲۰	۰.۱۰۰	---	---	۳۲/۲۵	۴۷/۵	۷۲۸	۷۲۸	۷۲۸	۷۲۸
۶۳	C42/55	۴۲۰	۰.۱۰۰	---	---	۲۰/۷۵	۳۶/۷۵	۷۲۸	۷۲۸	۷۲۸	۷۲۸
۶۴	C42/60	۴۲۰	۰.۱۶	---	---	۱۴/۱	۲۸/۷۵	۷۲۸	۷۲۸	۷۲۸	۷۲۸
۶۵	C32/50MS0	۳۲۰	۰.۱۰	SF	.	---	۲۸/۷۵	۷۲۸	۷۲۸	۷۲۸	۷۲۸
۶۶	C32/50MS7/5	۳۲۰	۰.۱۰	SF	۷/۰	---	۳۴/۶۵	۷۲۸	۷۲۸	۷۲۸	۷۲۸
۶۷	C40/50MS0	۴۰۰	۰.۱۰	SF	.	---	۲۳/۱	۷۲۸	۷۲۸	۷۲۸	۷۲۸
۶۸	C40/50MS7/5	۴۰۰	۰.۱۰	SF	۷/۰	---	۳۲/۰۵	۷۲۸	۷۲۸	۷۲۸	۷۲۸
۶۹	C32/40MS0	۳۲۰	۰.۱۶	SF	.	---	۴۸/۳	۷۲۸	۷۲۸	۷۲۸	۷۲۸
۷۰	C32/40MS7/5	۳۲۰	۰.۱۶	SF	۷/۰	---	۴۳/۵	۷۲۸	۷۲۸	۷۲۸	۷۲۸
۷۱											

جدول ۲ ساختار شیمیایی مواد سیمانی مورد استفاده

Chemical Components	Cement Type I	RHA	Tuff	Pumice	Silica Fume	Limestone	Metakaolin		
							A	B	C
SiO <sub>2</sub>	۲۱/۵	۸۹/۶۱	۶۵/۷۴	۶۷/۷	۹۴/۶۶	۱/۴۷	۷۲/۵	۷۶/۷۳	۶۸/۹۹
Al <sub>2</sub> O <sub>3</sub>	۳/۳۸	۰/۰۴	۱۲/۲۴	۱۵/۸	۰/۳۱	۰/۲۲	۲۲/۲۱	۱۷/۴۱	۲۰/۴۶
Fe <sub>2</sub> O <sub>3</sub>	۲/۷۶	۰/۲۲	۲/۰۵	۳/۳۹	۰/۶۰	۰/۲۹	۰/۸۱	۰/۵۹	۰/۹۹
CaO	۶۱/۵	۰/۹۱	۲/۸۷	۳/۹	۰/۳۶	۵۴/۷۷	۲/۲۲	۳/۵۸	۲/۷۵
SO <sub>3</sub>	۲/۵	۰/۱۵	۰	۰/۳۳	۰/۲۳	۰/۰۶	----	----	----
MgO	۴/۸	۰/۴۲	۰/۹۶	۰/۹۹	۰/۷۸	۰/۳	۰/۱۳	۰/۱۹	۰/۵۰
Na <sub>2</sub> O	۰/۱۲	۰/۰۷	۱/۹۲	۲/۹۵	۰/۲۲	۰/۰۵	۰/۰۵	۰/۰۵	۲/۸۰
K <sub>2</sub> O	۰/۹۵	۱/۵۸	۲/۰۲	۲	۰/۲۲	۰/۰۸	۰/۰۵	۰/۳۱	۲/۲۴
P <sub>2</sub> O <sub>5</sub>	۰/۲۳	۰/۴۱	۰/۰۳	۰/۱۲	----	۰/۰۱	۰/۰۵	۰/۰۴	۰/۰۵
TiO <sub>2</sub>	۰/۰۴	۰/۰۲	۰/۲۹	۰/۳۳	----	۰/۰۵	۰/۰۶	۰/۰۶	۰/۰۹
LOI	۱/۳۵	۵/۹۱	۸/۵	۲/۳	۱/۷۷	۴۲/۲۳	۰/۷۶	۰/۸۲	۰/۸۹

۱۰۰ و ضخامت ۵۰ میلی‌متر انجام شد. بر طبق استاندارد، نمونه‌ها در معرض ولتاژ ۶۰ ولت برای مدت ۶ ساعت قرار گرفتند و میزان کل بار عبوری در این مدت محاسبه شد. این عدد به عنوان شاخصی برای طبقه‌بندی بتن از لحاظ مقاومت در مقابل نفوذ یون کلراید در نظر گرفته می‌شود.

### نتایج آزمایش‌ها و تجزیه و تحلیل آن‌ها

مقاومت الکتریکی و رسانایی، هر دو، جزو خواص فیزیکی مواد هستند که می‌توانند برای ارزیابی کیفیت بتن در ارتباط با دوام مورد استفاده قرار گیرند. تحقیق‌های بسیاری در ارتباط بین مقاومت الکتریکی و نفوذپذیری بتن در مقابل یون کلراید و خوردگی آرماتور انجام شده است [۱۴, ۱۵]. از نتایج آشکار است که ارتباط مؤثری بین مقاومت الکتریکی بتن و نفوذ پذیری آن برقرار است. مقاومت الکتریکی بتن بیانگر جایه‌جایی یون‌ها -از جمله یون کلراید- درون مایع منفذی بتن می‌باشد. بنابراین انتظار می‌رود ارتباط منطقی بین مقاومت الکتریکی و نفوذپذیری بتن در مقابل یون کلراید وجود داشته باشد. اگر مقاومت الکتریکی بتن زیاد باشد جایه‌جایی یون‌های کلراید در

برای آزمایش مقاومت فشاری از نمونه‌های مکعبی ۱۰۰ میلی‌متری استفاده شد. هم‌چنین از آزمایش عمق نفوذ آب تحت فشار طبق استاندارد BS EN-12390-8 برای ارزیابی نفوذپذیری بتن استفاده شد. در این روش یک وجه نمونه‌ی مکعبی ۱۵۰ میلی‌متری، تحت آب با فشار ۰/۵ مگا پاسکال قرار داده می‌شود. این فشار برای ۷۲ ساعت اعمال می‌شود. پس از اتمام، نمونه‌ها از دستگاه خارج و به ۲ نیم تقسیم می‌شوند. سپس، با توجه به پروفیل نفوذ آب به بتن، حداقل عمق نفوذ آب ثبت می‌شود و به عنوان شاخصی برای نفوذپذیری بتن در نظر گرفته می‌شود. لازم به تذکر است، برای هم‌گرایی بیشتر نتایج، در این تحقیق از میانگین عمق نفوذ استفاده شده است.

برای اندازه‌گیری مقاومت الکتریکی سطحی بتن از دستگاه Wenner چهار الکترودی با فواصل مساوی ۵۰ میلی‌متر استفاده شد. نمونه‌های استوانه‌ای ۱۰۰ × ۲۰۰ میلی‌متری اشباع برای هر سن به کار رفت. چهار قراءت بر روی محیط نمونه‌ها انجام شده و میانگین آن‌ها در نظر گرفته شد [۱۹].

آزمایش نفوذ سریع یون کلراید بر اساس استاندارد ASTM C1202 بر روی نمونه‌های استوانه‌ای به قطر

(جدول ۳). در نتیجه، اگر ترکیب شیمیایی مایع منفذی بتن دارای یون‌های  $\text{OH}^-$  زیادی باشد، تأثیر این یون‌ها در انتقال جریان بیشتر از یون‌های کلراید می‌باشد. این امر باعث می‌گردد که رسانایی نمونه‌ها بالا رفته و بتن به اشتباه در سطح بتن‌های با نفوذ پذیری بالای یون کلراید قرار گیرد.

جدول ۳ جدول مقایسه‌ی رسانایی یون‌های  $\text{Cl}^-$  و  $\text{OH}^-$  [۲۲]

ردیف	یون	میزان رسانایی
۱	$\text{Cl}^-$	$0.007523 \Omega^{-1}\text{m}^2$
۲	$\text{OH}^-$	$0.019800 \Omega^{-1}\text{m}^2$

در طول آزمایش RCPT به دلیل ولتاژ نسبتاً بالای ۶۰ ولت و مدت زمان نسبتاً طولانی ۶ ساعت، دمای نمونه‌ها افزایش یافت که این افزایش دما باعث زیاد شدن جریان و در نتیجه مجموع بار عبوری بالاتر می‌شود. مخصوصاً در بتن‌های با آب به سیمان بالا، این افزایش دما ممکن است به ریزساختار بتن آسیب رسانده و ساختار شیمیایی مایع منفذی را تغییر داده و بتن را از حالت اولیه خارج سازد. از طرفی، با توجه به وسعت استفاده از آزمایش RCPT ایده‌ی جایگزینی این آزمایش با آزمایش مقاومت الکتریکی سطحی مطلوب به نظر می‌رسد. به بیان دیگر تغییر در نحوه قراءت داده‌ها (رسانایی به جای مجموع بار عبوری)، می‌تواند گزینه‌ای مناسب برای جایگزینی روش RCPT به شمار آید. روشن است که در صورت این جایگزینی باید ارتباط بین مقاومت الکتریکی سطحی بتن با مجموع بار عبوری در روش RCPT بررسی و تأیید شود.

با فرض ثابت بودن رسانایی نمونه‌های بتنی در طول آزمایش و بر اساس اصول فیزیکی آزمایش‌های SR و RCPT، می‌توان نتیجه گرفت که رابطه‌ای خطی بین نتایج این دو آزمایش باید برقرار باشد. اما در این تحقیق رابطه‌ی توانی ( $y = ax^b$ ) با دقت بالا ( $R^2 = 0.88$ ) بین نتایج این دو آزمایش برای مجموعه وسیعی از نمونه‌ها به دست آمد (شکل ۱).

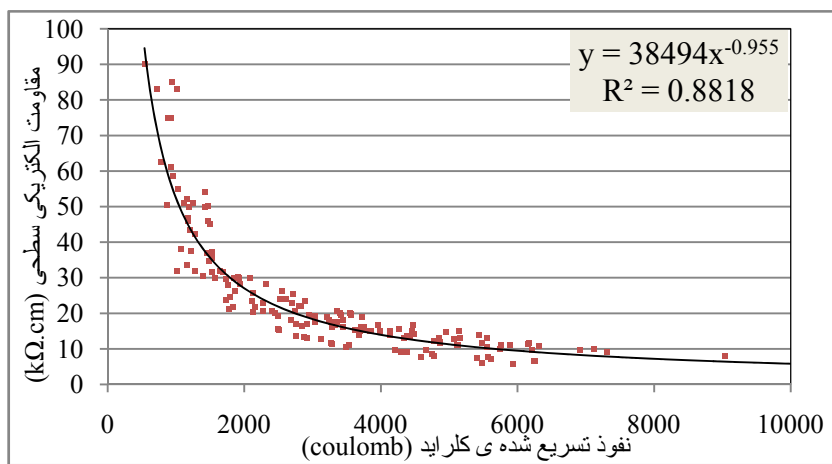
بتن آهسته می‌باشد و آرماتورهای مدفون در بتن دیرتر دچار خوردگی می‌شوند و در نتیجه سازه دوام بالاتر دارد و عمر مفید آن افزایش می‌یابد. نتایج آزمایش‌های [۲۰] Polder نشان می‌دهد رابطه‌ای خطی بین مقاومت الکتریکی و احتمال خوردگی در نمونه‌های بتنی وجود دارد.

از سوی دیگر، محدودیت‌هایی در ارتباط بین خاصیت رسانایی بتن با نفوذپذیری آن وجود دارد. رسانایی نمونه‌های بتنی ( $\sigma_{\text{specimen}}$ ) طبق رابطه‌ی (۱)، به دو عامل خصوصیات ریزساختار منافذ مویین (F) و رسانایی مایع منفذی ( $\sigma_{\text{poresoln}}$ ) وابسته است:

$$\sigma_{\text{specimen}} = \sigma_{\text{poresoln}} / F \quad (1)$$

بنابراین، بتنی که با سیمان با پایه‌ی قلیاییت پایین ساخته شده باشد، نسبت به نمونه بتنی که دارای قلیاییت بالاتری باشد، حتی اگر دارای ساختار منافذ مویین یکسانی باشند، رسانایی کمتری از خود نشان می‌دهد. این موضوع یکی از محدودیت‌های روش‌های رسانایی در ارزیابی خاصیت نفوذپذیری بتن‌ها می‌باشد [۲۱, ۶]. در نتایج آزمایش‌های RCPT و مقاومت الکتریکی سطحی (SR) مشاهده شد میزان بار عبوری و مقاومت الکتریکی نمونه‌های بتنی حاوی مواد پوزولانی نسبت به نمونه‌های شاهد، تا ۴ الی ۵ برابر بهبود یافته که این نسبت در بهبود عملکرد این بتن‌ها کمتر می‌باشد. به علاوه، Shi [۲۳] در تحقیقی تأثیر دوده‌ی سیلیس را بر رسانایی نمونه‌های بتنی بررسی کرده و به این نتیجه رسیده است که ممکن است رسانایی نمونه‌های حاوی دوده‌ی سیلیس نسبت به نمونه‌ی شاهد تا ۹۰٪ کاهش یابد.

از آن‌جایی که رسانایی نمونه‌های بتنی تا حدودی به ساختار منافذ مویین بستگی دارد و بیشتر به ساختار شیمیایی مایع منفذی وابسته است، نتایج به دست آمده به درستی بیانگر جایه‌جایی یون‌های کلراید در بتن نمی‌باشد [۲۲]. برای مثال یون‌های  $\text{OH}^-$  دارای قابلیت انتقال بیشتری نسبت به یون‌های کلراید می‌باشد



شکل ۱ ارتباط بین نتایج آزمایش‌های RCPT و مقاومت الکتریکی سطحی برای تمامی نمونه‌ها

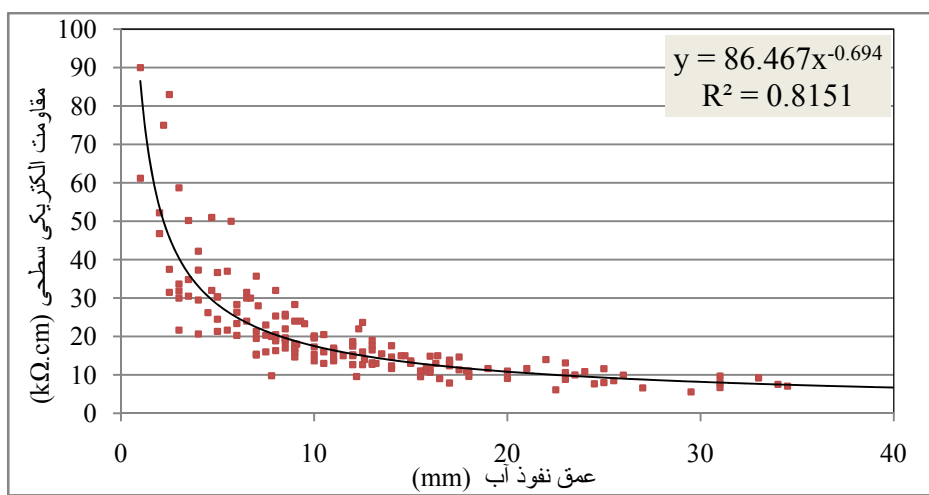
همان‌طور که در شکل‌های (۳-۵) مشخص است در مورد نمونه‌هایی که از یک نوع مواد سیمانی ساخته شده‌اند رابطه‌ی خوبی به‌دست می‌آید. ولی وقتی مجموعه‌ی نمونه‌های مورد بررسی از مواد سیمانی مختلفی ساخته شده باشند از دقت این رابطه کاسته می‌شود. دلیل این امر را می‌توان این گونه بررسی کرد که نتایج آزمایش SR به دو عامل ریز ساختار منافذ مویین بتن و رسانایی مایع منفذی آن بستگی دارد اما نتایج آزمایش عمق نفوذ آب فقط به عامل ریز ساختار منافذ مویین بستگی دارد. در بتن‌های ساخته شده با سیمان‌های آمیخته با پوزولان‌های مختلف، ساختار شیمیایی مایع منفذی بسیار متغیر است و پراکندگی نتایج SR و نفوذ، بالا می‌رود و دقت رابطه‌ی به‌دست آمده کم می‌شود. اما در مورد نمونه‌هایی که در آن‌ها از یک نوع مواد سیمانی استفاده شده باشد، به‌دلیل شباهت ترکیب شیمیایی مایع منفذی آن‌ها با هم، نتایج بیش‌تر به ساختار منافذ مویین حساس است و نتایج دو آزمایش SR و عمق نفوذ آب رابطه‌ی مناسبی با هم پیدا می‌کنند.

به‌دلیل افزایش دما در طول آزمایش RCPT مقاومت الکتریکی نمونه‌ها کاهش می‌یابد و میزان جریان عبوری در طول آزمایش زیاد می‌شود. در نتیجه رابطه‌ی به‌دست آمده از حالت خطی خارج می‌شود و هرچه رسانایی و نفوذپذیری بیش‌تر باشد، توان رابطه‌ی (b)، کم‌تر می‌شود.

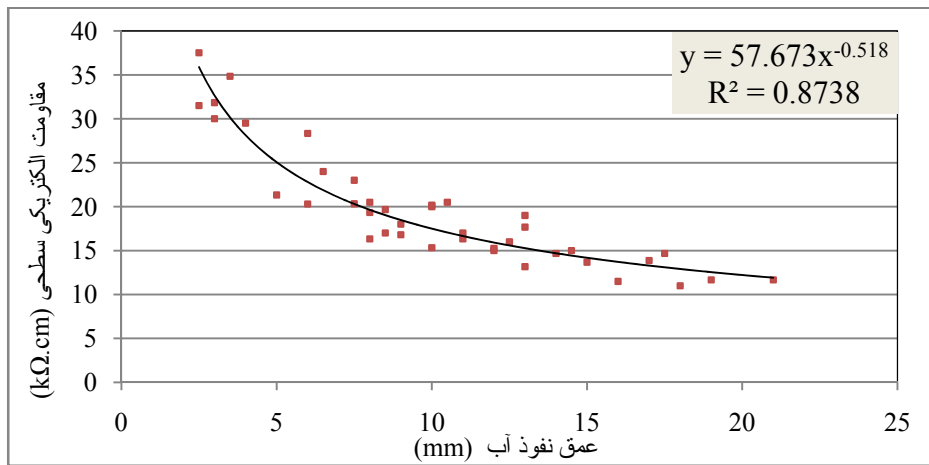
بر اساس تحقیقات Hooton و Betacourt [24]، اگر دمای نمونه‌ها در طول آزمایش RCPT ثابت نگه داشته شود، رابطه‌ای خطی بین رسانایی نمونه‌ها و مجموع بار عبوری با ضریب  $R^2 = 0.98$  به‌دست می‌آید. هم‌چنین آن‌ها پیشنهاد قراءت رسانایی نمونه‌ها را پس از یک دقیقه از شروع آزمایش RCPT به‌جای قرائت مجموع بار عبوری پس از ۶ ساعت به عنوان تصحیحی بر روی RCPT داده‌اند. یکی از عوامل اصلی دوام بتن، نفوذپذیری آن می‌باشد. در این تحقیق آزمایش عمق نفوذ آب تحت فشار بر اساس BS-EN:12390-8 برای ارزیابی نفوذپذیری بتن مورد استفاده قرار گرفت. همان‌طور که در شکل (۲) مشاهده می‌شود، رابطه‌ای کلی بین مقاومت الکتریکی بتن و عمق نفوذ آب وجود دارد.

اختلاط محدودی بوده و دارای کلیت نمی‌باشند. ولی در این تحقیق، همان‌طور که ذکر گردید، از طرح‌های اختلاط متنوع و وسیعی برای به‌دست آوردن روابط استفاده شده است. همچنین، در مورد ارتباط مقاومت الکتریکی و عمق نفوذ آب تحت فشار، می‌توان گفت این تحقیق منحصر به فرد می‌باشد.

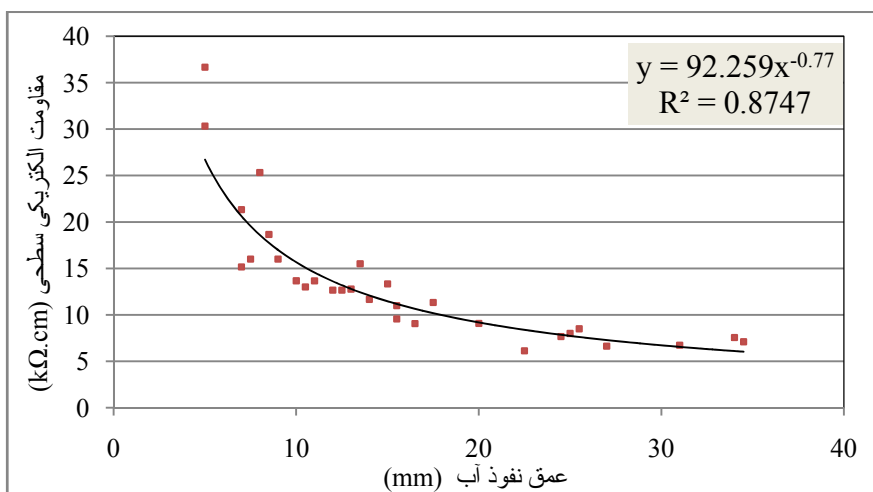
در انتها، با استفاده از روابط به‌دست آمده، دو مدل برای پیش‌بینی نتایج آزمایش‌های RCPT و عمق نفوذ آب تحت فشار، در جدول (۴) ارائه گردیده است. لازم به ذکر است، کارهای انجام‌شده قبلي که در منابع نیز آورده شده است [۱۳, ۱۵, ۲۴]، بیش‌تر به مکانیزم‌های موجود و تأثیر پارامترها پرداخته‌اند و در مواردی که روابطی آورده شده است، این روابط در مورد طرح‌های



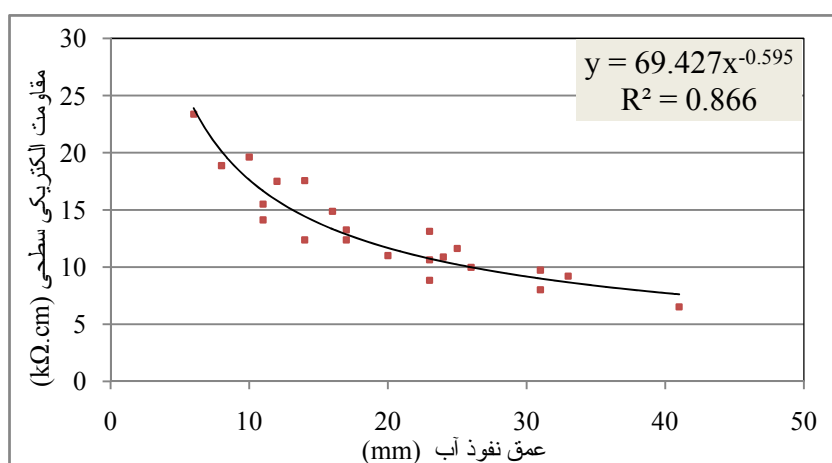
شکل ۲ ارتباط بین نتایج آزمایش‌های نفوذ آب و مقاومت الکتریکی سطحی برای تمامی نمونه‌ها



شکل ۳ ارتباط بین نتایج آزمایش‌های نفوذ آب و مقاومت الکتریکی سطحی برای نمونه‌های حاوی پودر سنگ آهک



شکل ۴ ارتباط بین نتایج آزمایش‌های نفوذ آب و مقاومت الکتریکی سطحی برای نمونه‌های حاوی متاکانولن



شکل ۵ ارتباط بین نتایج آزمایش‌های نفوذ آب و مقاومت الکتریکی سطحی برای نمونه‌های حاوی سیمان پرتلند

جدول ۴ مدل‌های پیشنهادی برای پیش‌بینی نفوذپذیری بتن با استفاده از مقاومت الکتریکی سطحی

ردیف	مدل پیشنهادی	$R^2$	توضیحات
۱	$RCP = 43618(SR)^{-0.923}$	$R^2 = .88$	SR: Surface Resistivity[ $k\Omega \cdot Cm$ ], RCP: charge pass through the specimen[coulomb]
۲	$Depth = 287/12(SR)^{-1/174}$	$R^2 = .81$	SR: Surface Resistivity[ $k\Omega \cdot Cm$ ], Depth: depth of water penetration[mm]

همبستگی دارند. همچنین، به صورت تجربی نیز روابط بین نتایج این دو آزمایش در بازه‌های وسیعی از طرح‌های اختلاط مورد بررسی قرار گرفت و رابطه‌ی توانی با دقیق بالا ( $R^2 = .88$ ) بدست آمد.

### نتیجه‌گیری

با توجه به وابستگی نتایج آزمایش‌های RCPT و مقاومت الکتریکی سطحی به رسانایی نمونه‌های بتنی، از لحاظ ثئوری نتایج این آزمایش‌ها با یکدیگر

با توجه به نتایج به دست آمده و مزایای آزمایش مقاومت الکتریکی سطحی، می‌توان این آزمایش را جایگزینی برای آزمایش RCPT و شاخصی مناسب برای ارزیابی نفوذپذیری بتن در نظر گرفت. در انتهای، با استفاده از روابط به دست آمده، دو مدل برای پیش‌بینی نتایج آزمایش‌های RCPT و عمق نفوذ آب تحت فشار ارائه گردید.

### قدرتانی

از همکاران در مرکز تحقیقات تکنولوژی و دوام بتن دانشگاه صنعتی امیرکبیر به علت فراهم نمودن امکان ساخت و آزمایش‌های مختلف سپاسگزاری می‌گردد.

از طرفی، با توجه به تأثیر ریزساختار منافذ مویین بر رسانایی بتن، رابطه‌ی خوبی با دقت  $R^2 = 0.81$  بین نتایج آزمایش‌های مقاومت الکتریکی سطحی و عمق نفوذ آب تحت فشار، در بازه‌ی وسیعی از طرح‌های اختلاط به دست آمد. هم‌چنین در مورد طرح‌های اختلاط ساخته شده با یک نوع مواد سیمانی، دقت این رابطه بهبود یافت.

بر اساس شکل‌های (۱-۵)، به نظر می‌رسد در مورد نمونه‌های بتنی با نفوذپذیری کم‌تر (RCPT کم‌تر از ۱۵۰۰ کلمب و عمق نفوذ کم‌تر از ۱۰ میلی‌متر)، مقاومت الکتریکی بتن حساسیت بیشتری نسبت به تغییرات نفوذپذیری دارد و تغییرات آن را به خوبی نشان می‌دهد.

### مراجع

1. Ramezanianpour, A. A., Pilvar, A.R., Mahdikhani, M., Moodi, F., "Practical Evaluation Of Relationship Between Concrete Resistivity, Water Penetration, Rapid Chloride Penetration And Compressive Strength", *Construction and Building Materials*, vol. 25, pp. 2472–2479, (2011).
2. Mc Carter, W.J., Emerson, M., Ezirim, H., "Properties of concrete in the cover zone: developments in monitoring techniques", *Magazine of Concrete Research*, vol. 47 (172): pp. 243–51, (1995).
3. Suryavanshi, AK., Swamy, RN., Cardew GE., "Estimation of diffusion coefficients for chloride ion penetration into structural concrete", *ACI Materials Journal*; vol. 99(5): pp.441–9, (2002).
4. Dhir, RK., Jones, MR., Ahmed, HEH., Seneviratne, AMG., "Rapid estimation of chloride diffusion coefficient in concrete", *Magazine of Concrete Research*, vol. 42(152): pp. 177–85, (1990).
5. Streicher, PE., Alexander, MG., "A critical evaluation of chloride diffusion test methods for concrete", In: Proceedings of the third CANMET/ACI international conference on concrete durability, Nice, France,.. pp. 517–30, (1994).
6. Whiting, D., "Rapid measurement of the chloride permeability of concrete", *Public Roads* 45 (3), pp.101– 112, (1981).
7. Whiting, D., Mitchell, T.M., "History of the rapid chloride permeability test", *Transportation Research Board*, 1335, pp.55– 62, (1992).
8. ASTM C1202, "Standard test method for electrical indication of concrete's ability to resist chloride ion penetration", (2012).

9. Hale, M., Russell, BW., Bush, TD., "An assessment of the rapid chloride ion penetrability test", In: Proceedings of the international conference on concrete for extreme conditions, Scotland, UK: University of Dundee; pp. 447–56, (2002).
10. Gowripalan, N., Mohamed, HM., "Chloride-ion induced corrosion of galvanized and ordinary steel reinforcement in high-performance concrete", *Cement Concrete Research*; vol. 28(8): pp. 1119–31, (1998).
11. Sharfuddin, A., Kayali, O., Anderson, W., "Chloride penetration in binary and ternary blended cement concretes as measured by two different rapid methods", *Cement and Concrete Composites*, vol. 30(7), pp. 576-58, (2008).
12. Polder Rob, B., Peelen Willy, H. A, "Characterisation of chloride transport and reinforcement corrosion in concrete under cyclic wetting and drying by electrical resistivity", *Cement & concrete composite*, vol. 24(5), pp. 427-435, (2002).
13. Gulikers, J., "Theoretical considerations on the supposed linear relationship between concrete resistivity and corrosion rate of steel reinforcement", *Materials and Corrosion*, 56, No. 6, pp.393-403, (2005).
14. Andrade, C., Sanjuan, MA., Alonso, MC., "Measurement of chloride diffusion coefficient from migration tests", Proceedings of the NACE Corrosion'93, pp.289-298, (1993).
15. Polder, RB., "Chloride diffusion and resistivity testing of five concrete mixes for marine environment", Proceedings of the RILEM International Workshop on Chloride Penetration into Concrete, St-Remy-les-Chevreuses, RILEM, (1997).
16. Kessler Richard, J., Powers Rodney, G., Vivas, E., Paredes Mario, A., Virmani Paul, Y., "surface resistivity as an indicator of concrete chloride penetration resistance", Proceedings of the Concrete Bridge Conference, (2008).
17. Ramezanianpour, A.A., Mahdikhani, M., Ahmadibeni, G., "The effect of rice husk ash on mechanical properties and durability of sustainable concretes", *International Journal of Civil Engineering* 7 (2), pp. 83-91, (2009).
18. BS EN-12390-8, "Depth of penetration of water under pressure", British Standards Institution, (2000).
19. FM 5-578, "Florida Method of Test for Concrete Resistivity as an Electrical Indicator of its Permeability", (2004).
20. Polder, R. B., "Critical chloride content for reinforced concrete and its relationship to concrete resistivity", *Materials and corrosion*, Vol. 60 (8),pp. 623 – 630, (2009).
21. Snyder, KA., Ferraris, CF., Martys, NS., Garboczi, EJ., "Using impedance spectroscopy to assess the viability of the rapid chloride test for determining concrete conductivity", *Journal of Research of the National Institute of Standards and Technology*; vol. 105(4), pp. 497–509, (2006).

22. Willfried, k., "Rapid chloride permeability testing, a critical review", proceedings of the concrete in hot and aggressive environments, pp. 147-156, (2008).
23. Shi C., Stegemann Julia, A., Caldwell Robert, J., "Effect of Supplementary Cementing Materials on the Specific Conductivity of Pore Solution and its implications on the rapid chloride permeability test results", title No. 95-M36, *ACI Materials Journal*, pp. 389-394, (1998).
24. Julio-Betancourt, G.A., Hooton, R.D, "Study of the Joule effect on rapid chloride permeability values and evaluation of related electrical properties of concretes", *Cement and Concrete Research*, Vol. 34(6), pp. 1007-1015, (2004).